

重度子痫前期孕妇胎盘中 miR - 296 - 3p 和 MMP9 的表达及临床意义

辛怀丽 李绪清 芮月菊 杨鹤 王伟丽

[摘要] 目的 探讨 miR - 296 - 3p 和基质金属蛋白酶 9 (MMP9) 在重度子痫前期 (sPE) 孕妇胎盘组织中的表达及临床意义。方法 选取 2021 年 1 月至 2022 年 1 月在亳州市人民医院住院并剖宫产分娩的 sPE 孕妇 52 例为 sPE 组, 另选取正常妊娠剖宫产分娩的孕妇 52 例作为对照组。应用逆转录聚合酶链反应 (RT - qPCR) 检测两组孕妇胎盘组织中 miR - 296 - 3p 和 MMP9 mRNA 的表达情况, 蛋白质免疫印迹 (Western - blot) 检测 MMP9 蛋白的表达水平。采用 Pearson 法分析 miR - 296 - 3p 与 MMP9 的相关性, 以及两者与 sPE 孕妇的临床特征和妊娠结局的关系, 双荧光素酶报告系统检测 miR - 296 - 3p 和 MMP9 的靶向关系。结果 sPE 组 miR - 296 - 3p 相对表达量高于对照组 [(0.72 ± 0.10) 比 (0.35 ± 0.07)], sPE 组 MMP9 mRNA 和蛋白表达均低于对照组 [(0.21 ± 0.06) 比 (0.57 ± 0.10), (0.16 ± 0.06) 比 (0.65 ± 0.08)], 差异有统计学意义 ($t = 22.336, 22.360, -35.602, P < 0.001$); miR - 296 - 3p 和 MMP9 mRNA 的表达呈负相关 ($P < 0.05$); sPE 胎盘组织中 miR - 296 - 3p 表达与收缩压和舒张压呈正相关 ($P < 0.05$), 与新生儿出生体质量和分娩孕周呈负相关 ($P < 0.05$), sPE 胎盘组织中 MMP9 mRNA 的表达与收缩压和舒张压呈负相关 ($P < 0.05$), 与新生儿出生体质量和分娩孕周呈正相关 ($P < 0.05$)。荧光素酶报告基因实验证实 MMP9 是 miR - 296 - 3p 靶基因。结论 miR - 296 - 3p 高表达、MMP9 低表达与 sPE 的严重程度和预后相关, 推测 miR - 296 - 3p 可能通过负调控 MMP9 的表达参与 sPE 的发生发展。

[关键词] 重度子痫前期; 胎盘; miR - 296 - 3p; 基质金属蛋白酶 9

doi:10.3969/j.issn.1000-0399.2023.02.018

重度子痫前期 (severe preeclampsia, sPE) 是子痫前期严重程度的一种表现, 是导致孕产妇和围产儿死亡率增加的主要原因^[1-2]。目前, 这种疾病的发病机制仍不清楚。然而, 先前的研究^[3]表明, sPE 的发生可能与子宫螺旋动脉重塑障碍、胎盘浅着床和血管内皮细胞损伤等有关。研究^[4]显示, 胎盘中 miRNA 的表达失调可能导致 sPE 的发生。Choi 等^[5]通过高通量 RNA - seq 测序发现 miRNA 在 sPE 孕妇胎盘组织中存在差异表达, miR - 296 - 3p 是其中之一。基质金属蛋白酶 9 (matrix metalloproteinases, MMP9) 可通过影响胎盘功能导致子痫前期的发生^[6]。根据 miRNA 靶向基因预测软件发现, MMP9 可能是 miR - 296 - 3p 所调控的靶基因之一, 两者对 sPE 的影响尚未明确。本研究通过检测 sPE 与正常孕妇胎盘组织中 miR - 296 - 3p 和 MMP9 表达, 进一步分析对 sPE 孕妇相关临床特征

的影响及两者的关系, 探讨 miR - 296 - 3p 和 MMP9 在 sPE 发病中的作用, 为 sPE 的发病机制和治疗提供新的思路。

1 资料与方法

1.1 一般资料 选取 2021 年 1 月至 2022 年 1 月在亳州市人民医院住院并剖宫产分娩的 sPE 孕妇 52 例为 sPE 组, 另选取正常妊娠剖宫产分娩的孕妇 52 例作为对照组, sPE 具体诊断标准见妊娠期高血压疾病诊治指南 (2020)^[8]。与对照组相比, sPE 组孕妇血压升高, 新生儿出生体质量降低, 差异均有统计学意义 ($P < 0.05$); 两组孕妇的年龄、产次、孕次、孕前身体质量指数 (body mass index, BMI) 和分娩孕周差异无统计学意义 ($P > 0.05$)。见表 1。

表 1 sPE 组与对照组一般资料比较

变量	sPE 组 ($n=52$)	对照组 ($n=52$)	t 值	P 值
年龄(岁)	26.88 ± 3.57	26.31 ± 3.40	0.084	0.402
孕次(次)	2.13 ± 0.74	2.08 ± 0.84	0.372	0.711
产次(次)	1.46 ± 0.54	1.44 ± 0.61	0.170	0.865
Pre - BMI (kg/m^2)	22.96 ± 2.22	22.68 ± 2.68	0.582	0.562
收缩压 (mmHg)	162.35 ± 10.33	115.21 ± 13.27	20.212	<0.001
舒张压 (mmHg)	116.98 ± 6.88	78.60 ± 6.45	29.352	<0.001
分娩孕周(周)	37.53 ± 1.22	37.89 ± 0.89	-1.729	0.089
新生儿出生体质量(kg)	2.57 ± 0.33	3.09 ± 0.41	-7.099	<0.001

注:sPE 为重度子痫前期; Pre - BMI 为孕前身体质量指数。

1.2 sPE 纳入与排除标准 纳入标准:①均为单胎妊娠;②无胎儿发育异常;③孕期无吸烟及饮酒史;④孕期无特殊合并症。排除标准:①孕前存在糖尿病、高血压和心脏病;②孕前存在系统性红斑狼疮等风湿免疫性疾病;③孕前存在肾脏、肝脏等相关疾病。本研究经亳州市人民医院伦理委员会批准(伦理编号:2022056),且均知情并签署知情同意书。

1.3 方法

1.3.1 标本收集 选择胎盘母体面无钙化区,用无菌生理盐水快速清洗血凝块和血液,用一次性手术刀片在距脐带根部约2 cm处的胎盘母体面取一块胎盘组织,大小约1 cm³,放入冻存试管中,后将试管放入-80°C冰箱冷藏备用。

1.3.2 总RNA提取和逆转录聚合酶链反应(real time quantitative PCR, RT-qPCR) 采用常规的TRIzol法提取胎盘组织中的总RNA,然后用紫外分光光度计检测RNA的纯度和浓度。1st-Strand cDNA Synthesis Kit(cDNA链合成试剂盒,上海泽叶生物)合成cDNA。采用热循环荧光定量PCR仪(赛默飞ABI7500),根据日本Takara公司的SYBR Premix Ex Taq TM手册对PCR反应混合液进行检测。PCR的扩增条件为95°C预变性5 min,开始循环95°C 10 s、退火20 s,72°C延伸20 s,共45个循环,72°C再次延伸3 min。采用 $2^{-\Delta\Delta Ct}$ 法计算其相对表达量并进行统计分析。miR-296-3p和MMP9以及内参引物均有广州锐博生物设计合成,miR-296-3p上下游引物序列(退火温度57°C):5'-GAGGGTTGGGTGGAGGCTC TCC -3' 和 5' - AACGCTTCACGAATTGCGT -3';U6上下游引物序列:5' - TGCGGGTGCTCGCTCGCAGC -3' 和 5' - CCAGT-GCAGGGTCCGAGGT -3';MMP9上下游引物序列(退火温度59°C):5' - TCTATGGTCCTCGCCCTGAA -3' 和 5' - CATCGTCCACCGGACTCAA -3';GAPDH上下游引物序列:5' - AACGGATTGGTCGTATTGGG -3' 和 5' - CCTGGAGATGGTGTGGAT -3'。

1.3.3 蛋白质免疫印迹(Western blot)检测 提取部分胎盘组织的总蛋白,测定其浓度,并调整总蛋白量。变性后上样凝胶电泳,100 V恒压转膜50 min,5%脱脂奶粉室温封闭1 h,兔抗人-MMP9单克隆抗体(1:500,英国Abcam公司),β-action一抗(1:2 000,英国Abcam公司)4°C过夜,加入二抗(英国Abcam公司),室温孵育1 h,使用超敏ECL化学发光试剂盒显影液(上海碧云天公司)在伯乐凝胶成像系统显影(上海艾研生物科技公司),使用Image J分析蛋白灰度值,计算其蛋白质含量。

1.3.4 双荧光素酶报告基因实验 通过TargetScan 8.0(https://www.targetscan.org/vert_80/)预测MMP9是miR-296-3p的靶基因之一,在MMP9 3'-UTR序列中含有一个预测的miR-296-3p结合位点(47-53)。构建MMP9 3'-UTR的野生型(WT)和突变型(MUT)荧光素酶报告基因质粒(北京信诺金达生物科技有限公司)。将HTR-8/SVneo细胞以每孔3.75×10⁴个细胞接种在96孔板中。使用Lipofectamine TM 2000(Invitrogen,美国)分别将MMP9-3'-UTR(WT;100 ng)和MMP9-3'-UTR(MUT;100 ng)质粒与miR-296-3p mimic(模拟物)或阴性对照物共同转染到HTR-8/SVneo细胞中,进行双荧光素酶报告试验。孵育48小时后,使用全波长多功能酶标仪(JS-THERMO Varioskan Flash,美国)检测荧光素酶活性。

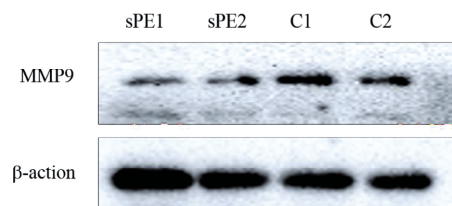
1.4 统计学方法 SPSS 26.0 和 GraphPad Prism 9.0用于所有数据的统计分析和作图,计量数据的结果表示为 $\bar{x} \pm s$,组间比较采用独立样本t检验。计数资料采用例或百分比表示,采用 χ^2 检验。Pearson 检验miR-296-3p与MMP9 mRNA表达的相关性以及两者与孕妇临床特征和妊娠结局的关系。以 $P < 0.05$ 表示差异有统计学意义。

2 结果

2.1 sPE组和对照组胎盘组织中miR-296-3p与MMP9 mRNA的表达 RT-qPCR检测发现,sPE组和对照组胎盘组织中miR-296-3p的表达分别为(0.72 ± 0.10)和(0.35 ± 0.07),差异有统计学意义($t = 22.336, P < 0.001$)。对照组MMP9 mRNA表达(0.57 ± 0.10),高于sPE组的(0.21 ± 0.06),差异有统计学意义($t = 22.360, P < 0.001$)。

2.2 sPE组和对照组胎盘组织中MMP9蛋白的表达

Western blot结果显示,sPE组MMP9蛋白表达水平低于对照组[(0.16 ± 0.06)比(0.65 ± 0.08)],差异有统计学意义($t = -35.602, P < 0.001$)。见图1。



注:sPE1和sPE2组为重度子痫前期组;C1和C2为对照组。

图1 两组孕妇胎盘组织中MMP9的部分蛋白条带

2.3 miR - 296 - 3p 和 MMP9 mRNA 与 sPE 孕妇临床特征和妊娠结局的关系 在 sPE 组通过 Pearson 检验分析发现,miR - 296 - 3p 和 MMP9 mRNA 与孕妇收缩

压、舒张压以及分娩孕周、新生儿出生体质量均有相关性($P < 0.05$)。见表 2。

表 2 miR - 296 - 3p 和 MMP9 mRNA 与 sPE 组孕妇临床特征和妊娠结局相关性

指标	收缩压		舒张压		分娩孕周		新生儿出生体质量	
	r 值	P 值	r 值	P 值	r 值	P 值	r 值	P 值
miR - 296 - 3p	0.302	0.030	0.322	0.020	-0.479	<0.001	-0.382	0.005
MMP9 mRNA	-0.298	0.032	-0.324	0.012	0.277	0.047	0.457	<0.001

2.4 miR - 296 - 3p 与 MMP9 mRNA 的相关性 sPE 组孕妇胎盘组织中 miR - 296 - 3p 的表达与 MMP9 mRNA 的表达量呈负相关($r = -0.369, P < 0.007$)。见图 2。

2.5 miR - 296 - 3p 与 MMP9 靶向关系的验证 双荧光素酶报告基因实验进一步验证,与共转染 mimic - NC 和 MMP9 - 3' - UTR WT 质粒组细胞比较,共转染 miR - 296 - 3p mimic 和 MMP9 - 3' - UTR WT 质粒组细胞相对荧光酶活性降低;与共转染 mimic - NC 和 MMP9 - 3' - UTR MUT 质粒组细胞比较,共转染 miR - 296 - 3p mimic 和 MMP9 - 3' - UTR MUT 质粒组细胞相对荧光酶活性差异无统计学意义。见图 3。

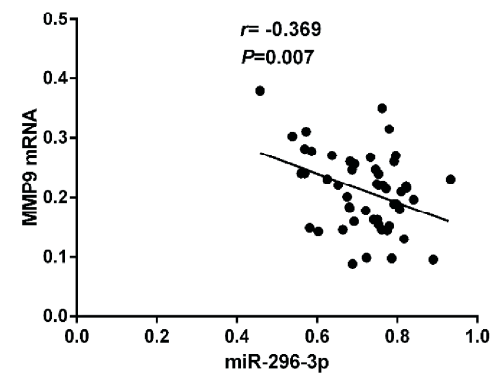
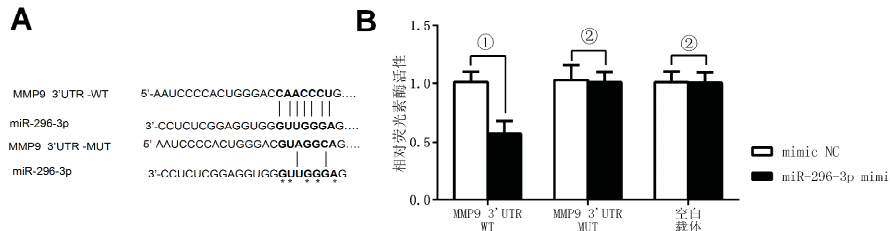


图 2 miR - 296 - 3p 与 MMP9 mRNA 的相关性



注:A 为 MMP9 - 3' - UTR WT 和 MUT 的与 miR - 296 - 3p 结合位点,加粗和带星号字体为突变位点,B 为双荧光素酶报告基因实验;与 mimic NC 组比较,^① $P < 0.05$ 、^② $P > 0.05$ 。

图 3 miR - 296 - 3p 与 MMP9 靶向关系的验证

3 讨论

sPE 是妊娠期严重并发症之一,是导致母婴死亡和母体多器官损害的重要原因^[8-9]。测量早期血压和检测蛋白尿是临幊上对 sPE 孕妇的常规检测指标,但 sPE 的初始原因仍不清楚。随着分子生物学的不断发展,医学研究者开始从疾病的基因生物学方向分析人类 sPE 的发病机制。因此,探索 sPE 发生的相关调控基因具有重要意义。目前,已在 sPE 孕妇的胎盘中检测到异常表达的 miRNA,这表明 miRNA 在调节 sPE 孕妇胎盘发育中起到重要作用^[10-11]。然而,miRNA 如何调节 sPE 胎盘滋养层细胞功能和胎盘发育的机制仍然是模糊的。

miRNA 是一类长约 22 个核苷酸的非蛋白质编码 RNA,能够通过与靶基因信使 RNA(mRNA)的 3' 非翻

译区结合来调节基因表达^[12]。且在不同疾病中具有抑制或促进疾病的作用。目前已在 sPE 和正常孕妇胎盘组织中发现 miRNA 的不同表达谱^[13]。miR - 296 - 3p 作为一种肿瘤抑制因子已被广泛接受,可抑制多种癌症的增殖、侵袭和迁移^[14-16]。事实上,miR - 296 - 3p 在肺癌细胞中表达下调,而过表达的 miR - 296 - 3p 可以通过靶向 RABL3 抑制肿瘤细胞的增殖和侵袭^[15]。miR - 296 - 3p 在黑色素瘤和乳腺癌中的表达同样也很低,从而促进了肿瘤的发生^[17]。胎盘中的滋养层细胞在增殖和侵袭能力方面与癌细胞高度相似。已有研究^[5]表明,miR - 296 - 3p 在 sPE 患者的胎盘中表达上调。本研究同样也显示,miR - 296 - 3p 在 sPE 患者的胎盘中高表达,且 miR - 296 - 3p 表达水平与收缩压、舒张压呈负相关,与分娩孕周和新生儿出生体质量正相关,推测其可能通过抑制滋养层细胞在增殖和

侵袭导致sPE的发生和发展,并与sPE孕妇的疾病严重程度及预后有关。

MMP是细胞外蛋白酶,在胚胎发生、植入、胎盘形成、新血管生成和肿瘤转化方面发挥重要作用。第一个MMP于1962年被确定为一种蛋白酶,主要在变态过程中降解纤维状胶原蛋白,因此被称为间质胶原酶^[18]。MMP由多种细胞类型分泌,随着妊娠期的持续,MMP可参与囊胚植入、子宫肌层螺旋动脉的重塑和胎盘形成的过程。MMP9是MMP家族中一员,Palei等^[19]研究表明,子痫前期胎盘中MMP9的低表达降低了滋养层细胞的侵袭能力。Espino等^[20]研究表明,MMP家族成员影响胎盘形成阶段的血管重塑导致妊娠期高血压的发生。本研究结果也显示,sPE孕妇胎盘组织中MMP9表达下调。推测可能是由于滋养层细胞侵袭能力下降时,伴随着胎盘的氧化,继而滋养细胞坏死进入血液循环,使血管内皮细胞损伤加重,最终导致孕期血压升高。本研究同时还发现,sPE组胎盘组织中MMP9 mRNA的表达水平与收缩压和舒张压呈负相关,与分娩孕周和新生儿出生体质量正相关,提示MMP9与sPE疾病严重程度及预后也相关。Yu等^[21]研究表明,miR-204可能通过靶向基因MMP9抑制滋养细胞的侵袭促进子痫前期的发展。本研究进一步分析sPE孕妇胎盘组织中miR-296-3p与MMP9 mRNA的表达呈负相关,双荧光素酶报告实验证实MMP9是miR-296-3p靶基因,与Yu等^[21]研究结果相似,推测miR-296-3p同样可能通过调控靶向基因MMP9的表达影响sPE的发生发展。

综上所述,sPE孕妇胎盘组织中miR-296-3p呈高表达,MMP9呈低表达,两者之间的表达呈负相关,且miR-296-3p和MMP9的表达与sPE的严重程度和预后相关。推测miR-296-3p可能通过调节靶基因MMP9的表达参与sPE的发生发展,但仍需要进行更多的细胞层面实验的论证。

参考文献

- [1] 王宇,周杜娟,黄艳,等.重度子痫前期患者血清和胎盘组织中ADMA与DDAH2的表达水平及其相关性[J].河北医学,2021,27(12):1965-1969.
- [2] 赵润,宋学云,傅晓冬.重度子痫前期孕妇胎盘绒毛膜板动脉血管中miR-217表达水平及与脂代谢的关系[J].热带医学杂志,2022,22(8):1049-1053.
- [3] 李晓娟,周芝熠,王珏,等.重度子痫前期胎盘microRNA谱差异表达研究[J].中国产前诊断杂志(电子版),2019,11(2):16-22.
- [4] 骆琦.miRNA在重度子痫前期胎盘组织中的表达水平[J].中国优生与遗传杂志,2017,25(7):68-70.
- [5] CHOI S Y, YUN J, LEE O J, et al. MicroRNA expression profiles in placenta with severe preeclampsia using a PNA-based microarray[J]. Placenta, 2013, 34(9): 799-804.
- [6] TIMOKHINA E, STRIZHAKOV A, IBRAGIMOVA S, et al. Matrix metalloproteinases MMP-2 and MMP-9 occupy a new role in severe preeclampsia[J/OL]. J Pregnancy, 2020, 2020:8369645.
- [7] 中华医学会妇产科学分会妊娠期高血压疾病学组.妊娠期高血压疾病诊治指南(2020)[J].中华妇产科杂志,2020,55(4):227-238.
- [8] 李登影,杜易.重度子痫前期胎盘组织LncRNA DANCR与AP-1蛋白的相关性分析[J].中国妇幼保健,2022,37(13):2387-2389.
- [9] 叶青,翟桂荣,吴允,等.子痫前期孕妇血浆外泌体中LncRNA MALAT1和miR-206的表达水平及临床意义[J].安徽医学,2021,42(1):15-20.
- [10] 姚申坤,杜鹃.miRNA在子痫前期发病中的作用机制研究进展[J].山东医药,2018,58(3):103-105.
- [11] 张文琦,姚春凤,胡小娜,等.母体外周血循环miRNA和子痫前期的研究进展[J].华北理工大学学报(医学版),2022,24(3):241-248.
- [12] SALIMINEJAD K, KHORRAM KHORSHID H R, SOLEYMANI FARD S, et al. An overview of microRNAs: biology, functions, therapeutics, and analysis methods[J]. J Cell Physiol, 2019, 234(5): 5451-5465.
- [13] 董方华,杜丹,何栩,等.子痫前期患者血浆miRNA表达谱的研究与分析[J].现代医院,2016,16(6):798-801.
- [14] ZHOU J, DU G, FU H. miR-296-3p promotes the proliferation of glioblastoma cells by targeting ICAT[J]. Mol Med Rep, 2020, 21(5): 2151-2161.
- [15] GE T, WU H C, ZHOU Y Y, et al. MiR-296-3p may affect the proliferation and migration of non-small cell lung cancer cells via regulating RABL3[J]. Eur Rev Med Pharmacol Sci, 2019, 23(13): 5823-5830.
- [16] BAI Y, LIAO H, LIU T, et al. MiR-296-3p regulates cell growth and multi-drug resistance of human glioblastoma by targeting ether-à-go-go (EAG1)[J]. Eur J Cancer, 2013, 49(3): 710-724.
- [17] WANG X, HU Y, CUI J, et al. Coordinated targeting of MMP-2/MMP-9 by miR-296-3p/FOXCUT exerts tumor-suppressing effects in choroidal malignant melanoma [J]. Mol Cell Biochem, 2018, 445(1/2): 25-33.
- [18] HUANG H. Matrix Metalloproteinase-9 (MMP-9) as a cancer biomarker and MMP-9 biosensors: recent advances [J]. Sensors (Basel), 2018, 18(10): 3249.

ACTH 对激素及 CNIs 双重耐药原发性肾病综合征患者疗效的影响

牛文忠 吴琼 陈朴 李正一 张贵春 赵丽丽 丁显春

[摘要] 目的 观察促肾上腺皮质激素(ACTH)对激素及钙调神经磷酸酶抑制剂(CNIs)双重耐药的原发性肾病综合征(PNS)患者脂代谢、尿蛋白、血皮质醇水平的影响,分析其应用价值。**方法** 选取南阳市中心医院42例对激素及CNIs双重耐药的PNS患者为研究对象,以随机数字表法分为两组,对照组行常规治疗,ACTH组在对照组基础上予以ACTH静脉滴注治疗,比较两组患者治疗后脂代谢水平[高密度脂蛋白胆固醇(HDL-C)、总胆固醇(TC)、低密度脂蛋白胆固醇(LDL-C)及三酰甘油(TG)]、血清皮质醇(COR)、24 h尿蛋白定量、肾小球滤过率(GFR)、疗效及不良反应情况差异。**结果** ACTH组总缓解率高于对照组($P < 0.05$)。经治疗,ACTH组TC、TG、LDL-C、HDL-C水平优于对照组($P < 0.05$)。ACTH组治疗后COR水平高于对照组($P < 0.05$)。ACTH组治疗后24 h尿蛋白定量、GFR低于对照组($P < 0.05$)。两组不良反应总发生率无明显差异($P > 0.05$)。**结论** ACTH可有效改善PNS患者的激素及CNIs耐药,提高临床疗效。

[关键词] 原发性肾病综合征;促肾上腺皮质激素;钙调神经磷酸酶抑制剂;双重耐药

doi:10.3969/j.issn.1000-0399.2023.02.019

原发性肾病综合征(primary nephrotic syndrome,PNS)好发于儿童群体^[1],糖皮质激素是PNS患者临床一线治疗药物,但依然有10%~20%患者具有激素耐药性^[2],被称为激素耐药型肾病综合征(steroid resistant nephrotic syndrome,SRNS),钙调神经磷酸酶抑制剂(calcineurin inhibitors,CNIs)是其首选治疗药物^[3]。以往研究^[4-5]显示,23%~53% SRNS患者表现为CNIs抵抗,50%左右的SRNS患者5年内将发展成为终末期肾病。长期激素治疗容易影响下丘脑-垂体-肾上腺(hypothalamus-pituitary-adrenal,HPA)正常功能,减少促肾上腺皮质激素(adrenocorticotropic hormone,ACTH)表达,造成肾上腺萎缩,损害肾上腺皮质功能,导致血皮质醇(cortisol,COR)表达水平下降^[6]。寻找更好治疗方法,对延缓该类双重耐药PNS患者病情进展具有重要意义。以往研究^[7]发现,ACTH能够延缓SRNS进展目的。本研究主要分析ACTH对激素

及CNIs双重耐药的PNS患者疗效的影响,为临床治疗提供参考。

1 资料与方法

1.1 一般资料 选取2020年1月至2022年1月至南阳市中心医院就诊的42例对激素及CNIs双重耐药的PNS患者为研究对象,利用随机数字表法分为ACTH组与对照组。样本量估算: $n = 2 \bar{p} \bar{q} (\mu\alpha + \mu\beta)^2 / (p_1 - p_0)^2$,通过有关预实验结果确定相关数值,其中 $\beta = 0.10$, $\alpha = 0.05$ (双侧), $\mu\alpha = 1.95$, $\mu\beta = 1.18$ 。算出每组 $n = 17$ 例,考虑可能有脱落情况,将 n 扩大20%,最终总样本量为42例,即 $N_1 = N_2 = 21$ 例。两组患者性别、年龄、病程、病理类型及治疗前6个月糖皮质激素用量等一般资料差异无统计学意义($P > 0.05$)。见表1。

作者单位:473000 河南南阳 南阳市中心医院儿童肾病/内分泌科

- [19] PALEI A C, GRANGER J P, TANUS-SANTOS J E. Matrix metalloproteinases as drug targets in preeclampsia[J]. Curr Drug Targets, 2013, 14(3):325-334.
- [20] ESPINO Y SOSA S, FLORES-PLIEGO A, ESPEJEL-NUÑEZ A, et al. New insights into the role of matrix metalloproteinases in preeclampsia[J]. Int J Mol Sci, 2017, 18(7):1448.

- [21] YU Y, WANG L, LIU T, et al. MicroRNA-204 suppresses trophoblast-like cell invasion by targeting matrix metalloproteinase-9[J]. Biochem Biophys Res Commun, 2015, 463(3):285-291.

(2022-09-11收稿)

(本文编校:张迪,崔月婷)